

УДК 621.396.61

## Исследование условий самовозбуждения многокаскадных усилителей и кольцевых автогенераторов методами $D$ -разбиения

М. В. Балашков, В. М. Богачев\*

Разработан общий подход к построению диаграмм  $D$ -разбиения для свободных параметров, входящих в характеристическое уравнение с комплексными коэффициентами полиномиально, что соответствует общему случаю систем с сосредоточенными постоянными заданной размерности. В отличие от частотного критерия Неймарка детерминантный критерий Эрмита–Гурвица применим при произвольных степенях свободных параметров, обеспечивая аналитический расчет границ  $D$ -разбиения. Строго обосновано положение о соответствии границы  $D$ -разбиения равенству нулю старшего детерминанта матрицы Эрмита–Гурвица. Выявлена вспомогательная роль младших детерминантов в решаемой задаче. Методика исследования проиллюстрирована примерами анализа многокаскадных усилителей и автогенераторов.

Ключевые слова: методы  $D$ -разбиения по Неймарку и Эрмиту–Гурвицу, резонансные многокаскадные динамические системы.

### Введение

Метод  $D$ -разбиения, основы которого заложены А. И. Вышнеградским, еще на заре развития теории автоматического регулирования (1876 г.) получил широкое распространение в теории и практике проектирования динамических систем после опубликования фундаментальных работ Ю. И. Неймарка. Следуя [1], в большинстве работ рассматривается  $D$ -разбиение плоскости одного комплексного либо двух вещественных параметров, входящих в уравнение линейно [2 — 9]. Цель статьи: на примере многокаскадных резонансных усилителей и кольцевых автогенераторов разработать

методику решения задачи  $D$ -разбиения для полиномиального вхождения свободных параметров в характеристическое уравнение, что соответствует общему случаю динамических систем с сосредоточенными постоянными.

Решаемой задаче соответствует полиномиальное позиционирование вектора параметров  $K = [k_1, k_2, \dots, k_m]$  в характеристическом уравнении с комплексными коэффициентами [8, 9]:

$$H(p, K) = h_n(K)p^n + h_{n-1}(K)p^{n-1} + \dots + h_0(K). \quad (1)$$

Уравнение границы  $D$ -разбиения в параметрической форме получается из (1) подстановкой  $p = j\omega$  и разделением уравнения на вещественную и мнимую части:

\* BogachevVM@mail.ru

$$\begin{cases} H_B(\omega, K) = a_n(K)\omega^n + a_{n-1}(K)\omega^{n-1} + \dots + a_0(K) = 0; \\ H_M(\omega, K) = b_n(K)\omega^n + b_{n-1}(K)\omega^{n-1} + \dots + b_0(K) = 0. \end{cases} \quad (2)$$

Как показано в [10], система (2) разрешима в параметрической форме (по Неймарку), если хотя бы один из параметров входит в систему линейно. В противном случае следует применять теорему Эрмита–Гурвица, аналог теоремы Рауса–Гурвица о локализации корней комплексных полиномов вида (1) относительно мнимой оси комплексной плоскости [11 — 13].

**Теорема 1.** Динамическая система с комплексным характеристическим полиномом  $H_B(p)$ , для которого согласно (2)  $H(j\omega) = H_B(\omega) + jH_M(\omega)$ , причем  $b_n \neq 0$  и полиномы  $H_B(\omega)$  и  $H_M(\omega)$  взаимно просты, устойчива, если все четные детерминанты матрицы Эрмита–Гурвица порядка  $2n$

$$H(K) = \begin{pmatrix} b_0 & b_1 & \dots & b_n & 0 & \dots & 0 \\ a_0 & a_1 & \dots & a_n & 0 & \dots & 0 \\ 0 & b_0 & \dots & b_{n-1} & b_n & \dots & 0 \\ 0 & a_0 & \dots & a_{n-1} & a_n & \dots & 0 \\ \dots & \dots & \dots & \dots & \dots & \dots & \dots \\ 0 & 0 & \dots & 0 & b_0 & \dots & b_n \\ 0 & 0 & \dots & 0 & a_0 & \dots & a_n \end{pmatrix} \quad (3)$$

положительны  $\Delta_{2k} > 0, k = \overline{1, n}$ . Число правых корней полинома равно числу перемен знака в последовательности главных детерминантов матрицы Эрмита–Гурвица:

$$r = V(1, \Delta_2, \Delta_4, \dots, \Delta_{2n}), (\Delta_{2n} \neq 0). \quad (4)$$

При этом, если в последовательности (4) имеется определитель, равный нулю

$$\Delta_{2h} = 0, h < n, (\Delta_{2h} \neq 0), \quad (5)$$

то при подсчете числа  $r$  полагают  $\text{sign} \Delta_{2h} = \text{sign} \Delta_{2h-2}$ . Точку, удовлетворяющую условиям (5), классифицируют как критическую или особую точку 1-го типа.

Условие  $\Delta_{2h} = 0$  определяет особую точку 2-го типа. В этом случае полиномы  $H_B(\omega)$  и  $H_M(\omega)$  имеют общий вещественный множитель  $F(\omega)$  порядка  $\mu < n$  и исходный полином  $H(j\omega)$  можно записать в виде произведения  $H(j\omega) = \tilde{H}(j\omega)F(\omega)$ . Здесь  $\tilde{H}(j\omega)$  — полином порядка  $\nu = n - \mu$ , его старший детерминант  $\Delta_{2\nu} \neq 0$  и число правых корней определяются по теореме 1. Алгоритм локализации корней полинома  $F(\omega)$  разработан в [13].

В [8, 9, 11] при анализе многочисленных примеров подмечено, что собственно границей  $D$ -разбиения является равенство нулю старшего детерминанта:  $\Delta_{2n}(K) = 0$ . Докажем это положение и поясним роль младших детерминантов.

Отметим, что решение задачи  $D$ -разбиения приводит к необходимости раскрытия определителей высоких порядков. Для этих целей рекомендуется использовать интерполяционные методы, основанные на многомерном дискретном преобразовании Фурье (ДПФ) [14, 15].

### Многокаскадный резонансный усилитель

Рассмотрим модель многокаскадного резонансного усилителя на полевых транзисторах с одиночными параллельными контурами (рис. 1), состоящую из полевого транзистора, нагруженного со стороны выхода на проводимость контура с неполным включением (выделен штриховыми линиями).

Входную и выходную емкости транзистора отнесем к соответствующим контурам, емкость «затвор – сток»  $C_{3c} \neq 0$  учтем как элемент внутренней обратной связи. При этом  $Y$ -параметры полевого транзистора:

$$Y_{11} = j\omega C_{3c}, Y_{12} = -j\omega C_{3c}, Y_{21} = S - j\omega C_{3c}, Y_{22} = j\omega C_{3c}, \quad (6)$$

Укороченную проводимость контура запишем в виде:

$$Y_k = G(1 + pT + j\alpha), \quad (7)$$

где  $G$  — проводимость при резонансе;  $T = 2Q/\omega_0$  — постоянная времени контура;  $\alpha = |\omega_k - \omega_0|$  — обобщенная расстройка контура относительно опорной частоты  $\omega_0$ .

С учетом (6), (7), запишем матрицу проводимостей одиночного каскада, нагруженного на проводимость контура  $Y_k$  с коэффициентами включения  $m_1$  и  $m_2$ :

$$Y = \begin{bmatrix} Y_{11} & \frac{m_1}{m_2} Y_{12} \\ Y_{21} & \frac{m_1}{m_2} Y_{22} + \frac{1}{m_1 m_2} y \end{bmatrix} = \begin{bmatrix} j\omega C_{3c} & -j\omega C_{3c} \\ S - j\omega C_{3c} & \chi j\omega C_{3c} + \tilde{G}(1 + \bar{p} + j\alpha) \end{bmatrix}. \quad (8)$$

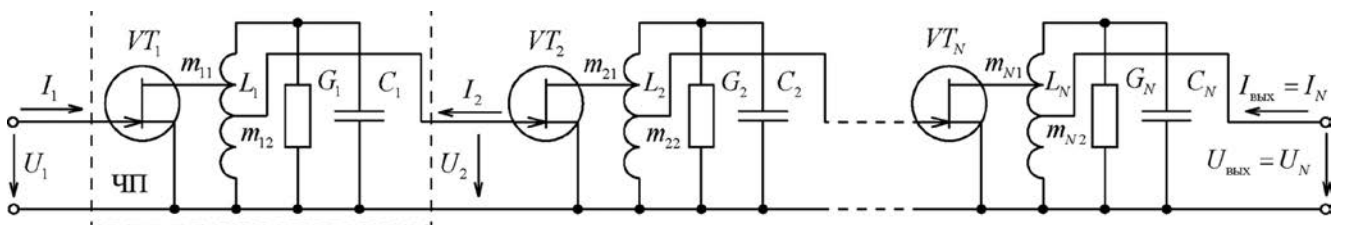


Рис. 1. Модель многокаскадного резонансного усилителя

Здесь  $\chi = m_1/m_2$  — отношение коэффициентов включения;  $\tilde{G} = G/(m_1 m_2)$  — нормированная проводимость при резонансе;  $\bar{p} = pT$  — нормированный оператор дифференцирования.

При каскадном соединении четырехполосников удобно использовать А-форму параметров, т.к. А-матрица каскадно соединенных четырехполосников равна произведению А-матриц этих четырехполосников. Элементы матриц А и Y связаны известными формулами:

$$A = \begin{bmatrix} -\frac{Y_{22}}{Y_{21}} & \frac{1}{Y_{21}} \\ \frac{\Delta Y}{Y_{21}} & -\frac{Y_{11}}{Y_{21}} \end{bmatrix}; \Delta Y = Y_{11}Y_{22} - Y_{12}Y_{21}. \quad (9)$$

При определении параметров А-матрицы ток  $I_2$  считается вытекающим из четырехполосника.

Пренебрегая в (8) частотной зависимостью элемента  $j\omega C_{zc}$  в окрестности частоты  $\omega_0$ , т.е. полагая  $j\omega C_{zc} \approx j\omega_0 C_{zc} = jB_0$ , на основании (8), (9) получим:

$$A = \begin{bmatrix} \frac{j\chi b_0 + 1 + \bar{p} + j\alpha}{K_0 - jb_0} & \frac{1}{\tilde{G}} \frac{1}{K_0 - jb_0} \\ -\tilde{G} \frac{j b_0 (1 + \bar{p} + j\alpha) + j\chi b_0 K_0}{K_0 - jb_0} & \frac{j b_0}{K_0 - jb_0} \end{bmatrix}, \quad (10)$$

где  $K_0 = S/\tilde{G}$  — коэффициент передачи на частоте  $\omega_0$  при  $\alpha_i = 0$  и  $C_{zc} = 0$ ;  $b_0 = B_0/\tilde{G}$  — нормированная проводимость элемента ОС.

Для получения А-матрицы N-каскадного усилителя необходимо последовательно перемножить А-матрицы всех каскадов:

$$A^{(N)} = A_1 A_2 \dots A_N. \quad (11)$$

Далее для определенности остановимся на рассмотрении двух- и четырехкаскадных резонансных усилителей. Причем подробные выкладки проделаем только для двухкаскадной схемы, а для четырехкаскадной ограничимся приведением конечных результатов.

Считая, что в двухкаскадном усилителе (при  $C_{zc} = 0$ ) выбрана расстройка между контурами, обеспечивающая симметричную амплитудно-частотную характеристику (АЧХ) относительно средней частоты контуров  $\omega_0$  (при этом  $\alpha_1 = -\alpha_2 = \alpha$ ) и, принимая  $\chi = 1$ , найдем коэффициент передачи усилителя по напряжению:

$$K_U^{(2)} = \frac{\dot{U}_{\text{ВЫХ}}}{\dot{U}_{\text{ВХ}}} = \frac{1}{A_{11}^{(2)}} = \frac{(K_0 - jb_0)^2}{\bar{p}^2 + (2 + 3jb_0)\bar{p} + 1 + \alpha^2 + b_0\alpha - b_0^2 + jb_0(K_0 + 3)}. \quad (12)$$

Аналогичным образом для четырехкаскадного усилителя, составленного из двух идентичных пар с симметричной расстройкой контуров, имеем:

$$K_U^{(4)} = \frac{\dot{U}_{\text{ВЫХ}}}{\dot{U}_{\text{ВХ}}} = \frac{1}{A_{11}^{(4)}} = \frac{(K_0 - jb_0)^4}{\bar{p}^4 + h_1\bar{p}^3 + h_2\bar{p}^2 + h_3\bar{p} + h_4}, \quad (13)$$

где

$$\begin{cases} h_1 = 7jb_0 + 4; \\ h_2 = -15b_0^2 + (3jK_0 + \alpha + 21j)b_0 + 2(\alpha^2 + 3); \\ h_3 = -10jb_0^3 - [10(K_0 + 3) - 4j\alpha]b_0^2 + \\ + (6jK_0 + 7j\alpha^2 + 2\alpha + 21j)b_0 + 4(\alpha^2 + 1); \\ h_4 = b_0^4 - 2(3jK_0 + \alpha + 5j)b_0^3 - \\ - [K_0^2 - 2K_0(j\alpha - 5) + 3\alpha^2 - 4j\alpha + 15]b_0^2 + \\ + (\alpha^2 + 1)(3jK_0 + \alpha + 7j)b_0 + (\alpha^2 + 1)^2. \end{cases}$$

На рис. 2 приведены семейства амплитудно-частотных характеристик, рассчитанные по формулам (12), (13) при различных значениях проводимости элемента обратной связи  $b_0$ . Как видим, при одинаковых значениях параметров  $\alpha$  и  $K_0$  искажения АЧХ с ростом  $b_0$  происходят быстрее при увеличении числа каскадов. Так, граница устойчивости в двух- и четырехкаскадных усилителях соответствует значениям  $b_0 = 0,8$  и  $b_0 = 0,406$ . То же касается критических значений  $b_0$  по допустимым искажениям формы АЧХ:  $b_0 = 0,03$  и  $b_0 = 0,01$ , соответственно. Полную картину вариации

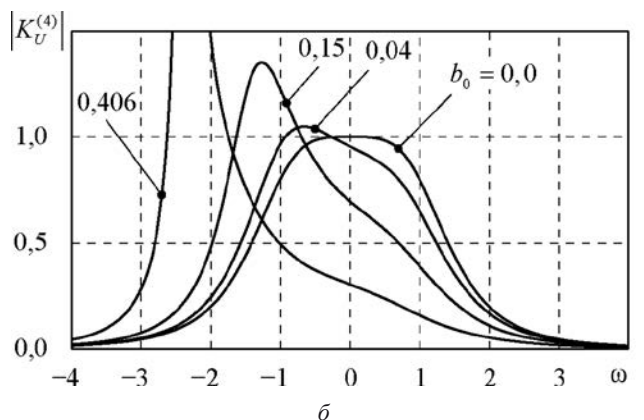
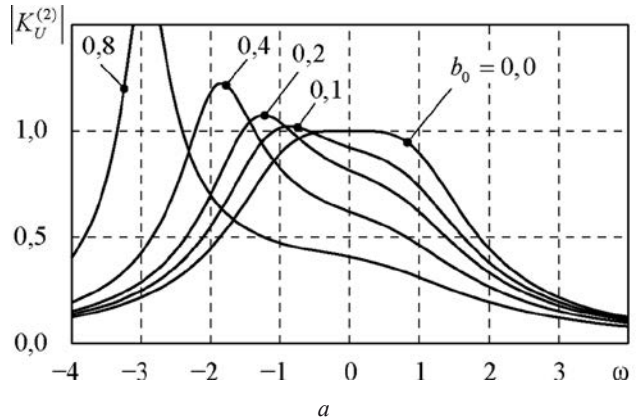


Рис. 2. Нормированные частотные характеристики двухкаскадного (а) и четырехкаскадного (б) резонансных усилителей при  $\alpha = 1$ ,  $K_0 = 3$  и различных значениях параметра  $b_0$

частотных характеристик (амплитудных и фазовых) в пространстве параметров  $\alpha$ ,  $K_0$ ,  $b_0$  можно оценить по формулам (12), (13).

Перед тем как приступить к составлению характеристического уравнения, сделаем одно замечание. Так как наряду с резонансными усилителями существенный интерес представляют кольцевые автогенераторы, у которых выходной каскад замкнут на вход, то далее будем рассматривать два типа систем: разомкнутые и замкнутые, т.е. многокаскадные усилители и кольцевые автогенераторы.

### Укороченные операторные характеристические уравнения и устойчивость многокаскадных усилителей

Чтобы получить укороченное операторное характеристическое уравнение разомкнутой системы следует предположить, что при отсутствии сигнала на входе  $\dot{U}_{\text{вх}} = 0$  напряжение на выходе  $\dot{U}_{\text{вых}} \neq 0$  не равно нулю. Отсюда следует, что искомое уравнение совпадает со знаменателем коэффициента передачи (12):

$$H_y^{(2)}(p) = \bar{p}^2 + (2 + 3jb_0)\bar{p} + 1 + \alpha^2 + b_0\alpha - b_0^2 + jb_0(K_0 + 3) = 0. \quad (14)$$

Аналогичным образом из (13) получаем характеристическое уравнение четырехкаскадного усилителя:

$$H^{(4)}(p) = \bar{p}^4 + h_1\bar{p}^3 + h_2\bar{p}^2 + h_3\bar{p} + h_4 = 0. \quad (15)$$

При построении  $D$ -разбиения выберем в качестве параметров плоскость  $(b_0; K_0)$ . Заменяем в (14)  $\bar{p}$  на  $j\bar{\omega}$  и разделим полученное уравнение на действительную и мнимую части:

$$\begin{cases} -\bar{\omega}^2 - 3b_0\bar{\omega} + 1 + \alpha^2 + b_0\alpha - b_0^2 = 0; \\ 2\bar{\omega} + b_0(K_0 + 3) = 0. \end{cases} \quad (16)$$

Параметр  $K_0$  входит в характеристическое уравнение системы (14) линейно, поэтому для определения областей устойчивости можно воспользоваться частотным методом Неймарка. Разрешая (16) относительно  $K_0$  и  $b_0$ , считая  $K_0$  и  $b_0$  вещественными положительными величинами, получим уравнение границы  $D$ -разбиения в параметрической форме:

$$\begin{cases} b_0 = 0,5 \left[ (\alpha - 3\bar{\omega}) - \sqrt{5(\alpha^2 + \bar{\omega}^2) - 6\alpha\bar{\omega} + 4} \right]; \\ K_0 = -(2\bar{\omega} + 3b_0) / b_0. \end{cases} \quad (17)$$

Альтернативный подход к решению задачи  $D$ -разбиения заключается в раскрытии старшего определителя матрицы Эрмита–Гурвица:

$$\Delta_4 = \begin{vmatrix} 0 & 2 & b_0(K_0 + 3) & 0 \\ -1 & -3b_0 & 1 + \alpha^2 + b_0\alpha - b_0^2 & 0 \\ 0 & 0 & 2 & b_0(K_0 + 3) \\ 0 & -1 & -3b_0 & 1 + \alpha^2 + b_0\alpha - b_0^2 \end{vmatrix} = -K_0^2 b_0^2 + 4(\alpha^2 + \alpha b_0 + 1) + 5b_0^2 = 0. \quad (18)$$

Из соотношения (18), считая  $K_0 \geq 0$ , получим прямую формулу для границы  $D$ -разбиения:

$$K_0 = \frac{\sqrt{5b_0^2 + 4(\alpha^2 + b_0\alpha + 1)}}{b_0}. \quad (19)$$

Приступая к исследованию устойчивости четырехкаскадного усилителя заметим, что параметры  $b_0$  и  $K_0$  входят в характеристическое уравнение (15) полиномиально, причем в степенях, превышающих единицу. В связи с этим для аналитического построения  $D$ -разбиения, следуя [10], используем критерий Эрмита–Гурвица. Принимая  $\alpha = 1$  и раскрывая определитель матрицы  $\mathbf{H}(b_0, K_0)$  методом двумерной ДПФ-интерполяции [15], имеем:

$$\begin{aligned} \Delta_8 = & 81b_0^8 K_0^8 + 72b_0^8 K_0^7 + (110b_0^{10} + 12b_0^9 - 1066b_0^8 - \\ & - 1860b_0^7 - 4792b_0^6) K_0^6 + (40b_0^{10} - 256b_0^9 - 1448b_0^8 - \\ & - 2664b_0^7 - 3904b_0^6) K_0^5 + (37b_0^{12} + 12b_0^{11} - 1152b_0^{10} - \\ & - 1388b_0^9 - 3255b_0^8 + 6724b_0^7 + 15752b_0^6 + 21664b_0^5 + \\ & + 20544b_0^4) K_0^4 - (24b_0^{12} + 96b_0^{11} + 1720b_0^{10} + 1800b_0^9 + \\ & + 6888b_0^8 - 1688b_0^7 + 3936b_0^6 - 6656b_0^5 + 2560b_0^4) K_0^3 - \\ & - (486b_0^{12} + 504b_0^{11} + 4326b_0^{10} + 3440b_0^9 + 23240b_0^8 + \\ & + 29376b_0^7 + 93984b_0^6 + 93696b_0^5 + 153856b_0^4 + \\ & + 72704b_0^3 + 73728b_0^2) K_0^2 + (1944b_0^{10} + 1368b_0^9 + 11168b_0^8 - \\ & - 3456b_0^7 + 16768b_0^6 - 20224b_0^5 + 15360b_0^4 - 14336b_0^3 + \\ & + 8192b_0^2) K_0 + (729b_0^{12} + 972b_0^{11} + 10800b_0^{10} + 12640b_0^9 + \\ & + 65440b_0^8 + 62848b_0^7 + 201984b_0^6 + 154624b_0^5 + 326656b_0^4 + \\ & + 172032b_0^3 + 245760b_0^2 + 65536b_0 + 65536) = 0. \end{aligned} \quad (20)$$

Как видим, определитель является полиномом восьмой степени по переменной  $K_0$  и 12-й степени по  $b_0$ . Таким образом, для построения границы  $D$ -разбиения уравнение  $\Delta_8 = 0$  целесообразно рассматривать как полином восьмой степени по  $K_0$  с коэффициентами, зависящими от  $b_0$ , и граница  $D$ -разбиения определяется положительными корнями этого полинома. Отрицательные корни отбрасываем как не соответствующие физической постановке задачи.

Диаграммы  $D$ -разбиения для двух- и четырехкаскадных усилителей приведены на рис. 3 сплошными линиями: в первом случае диаграмма состоит из двух областей  $D_0^{(p)}$  и  $D_1^{(p)}$ , во втором — из трех областей  $D_0^{(p)}$ ,  $D_1^{(p)}$  и  $D_2^{(p)}$ , причем нижняя граница является границей устойчивости.

**Укороченные операторные характеристические уравнения и условия самовозбуждения кольцевых автогенераторов**

При замыкании системы имеем  $\dot{U}_{вх} = \dot{U}_{вых}$ . С учетом этого условия укороченное характеристическое уравнение замкнутой системы представляет собой сумму полиномов числителя и знаменателя коэффициента передачи (12):

$$H_y^{(2)}(p) = \bar{p}^2 + (2 + 3jb_0)\bar{p} + \alpha^2 + b_0\alpha + 1 + 3jb_0(K_0 + 1) - K_0^2 = 0. \quad (21)$$

Как и ранее, полагаем  $\bar{p} = j\bar{\omega}$  и разбиваем уравнение на вещественную и мнимую части

$$\begin{cases} -\bar{\omega}^2 - 3b_0\bar{\omega} + \alpha^2 + b_0\alpha + 1 - K_0^2 = 0, \\ 2\bar{\omega} + 3b_0(K_0 + 1) = 0, \end{cases} \quad (22)$$

и разрешаем полученную систему относительно переменной  $b_0(\omega)$  и далее  $K_0(\omega, b_0)$ :

$$\begin{cases} 9(3\bar{\omega} - \alpha)b_0^3 + 9(\bar{\omega}^2 - \alpha^2)b_0^2 + 12\bar{\omega}b_0 + 4\bar{\omega}^4 = 0; \\ K_0 = -(2\bar{\omega} + 3b_0) / (3b_0). \end{cases} \quad (23)$$

Полученная система есть параметрическое представление границы  $D$ -разбиения.

Применяя критерий Эрмита-Гурвица с учетом коэффициентов характеристического уравнения (21), находим:

$$\Delta_4 = \begin{vmatrix} 0 & 2 & 3b_0(K_0 + 1) & 0 \\ -1 & -3b_0 & \alpha^2 + b_0\alpha + 1 - K_0^2 & 0 \\ 0 & 0 & 2 & 3b_0(K_0 + 1) \\ 0 & -1 & -3b_0 & \alpha^2 + b_0\alpha + 1 - K_0^2 \end{vmatrix} = - (9b_0^2 + 4)K_0^2 + 4(\alpha^2 + \alpha b_0 + 1) + 9b_0^2 = 0. \quad (24)$$

Из последнего соотношения получаем уравнение границы  $D$ -разбиения в явной форме:

$$K_0 = \sqrt{\frac{9b_0^2 + 4(\alpha^2 + b_0\alpha + 1)}{9b_0^2 + 4}}. \quad (25)$$

Можно показать, что для четырехкаскадного кольцевого автогенератора, после раскрытия старшего определителя матрицы Эрмита-Гурвица по параметрам  $K_0$  и  $b_0$ , получаем двумерный полином двенадцатого порядка по каждой переменной, и построение диаграммы  $D$ -разбиения выполняется рассмотренным выше способом.

Диаграммы  $D$ -разбиения плоскости параметров для двух- и четырехкаскадного кольцевых автогенераторов приведены на рис. 3 штриховыми линиями. Нижний индекс в обозначениях  $D_r^p$  и  $D_r^3$  соответствует числу правых корней характеристического полинома.

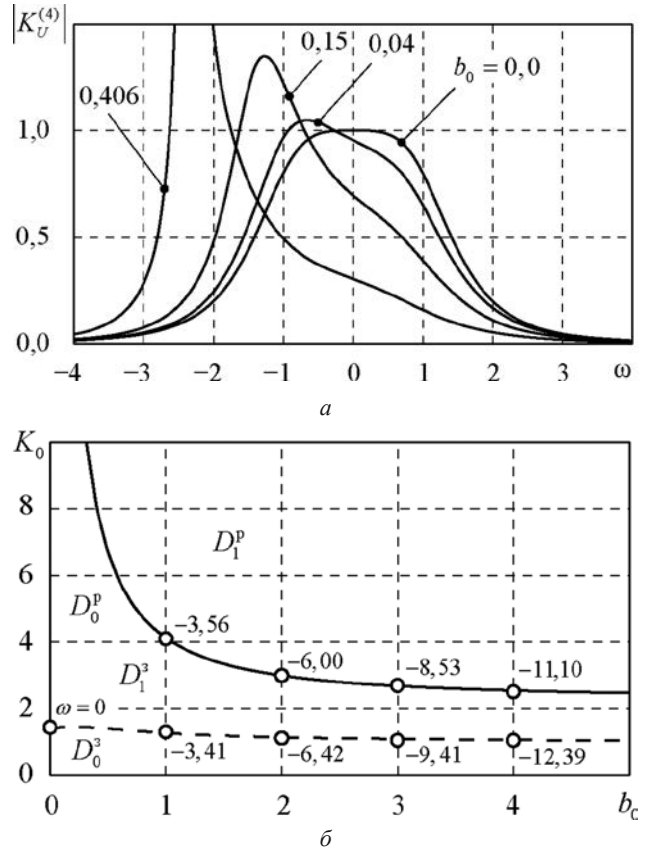


Рис. 3. Диаграммы  $D$ -разбиения для двухкаскадного (а) и четырехкаскадного (б) резонансных усилителей (сплошные линии) и кольцевых автогенераторов (штриховые линии) при  $\alpha = 1$

Заметим, что кривая, ограничивающая область устойчивости кольцевого автогенератора, практически не зависит от проводимости элемента ОС  $b_0$ , причем область  $D_0^3$  существенно уже области  $D_0^p$ .

На рис. 4  $D$ -разбиение для четырёхкаскадного усилителя дополнено вспомогательными линиями, определяемыми младшими детерминантами матрицы Эрмита-Гурвица.

Согласно теореме 1, число правых корней  $r$  в каждой из образовавшихся подобластей равно числу перемен знака в последовательности  $(1, \Delta_2, \Delta_4, \Delta_6, \Delta_8)$ . Знак  $\Delta_{2i}$  на рис. 4 легко определить, учитывая, что в области  $D_0$  все  $\Delta_{2i} > 0$  и при каждом пересечении границы знак меняется на противоположный. В таблице приведены знаки  $\Delta_{2i}$  и значения  $r$  для всех пяти подобластей, имеющих место на рис. 4. Подобласти обозначены римскими цифрами I, ... V.

Заметим, что истинной границей, разделяющей плоскость  $(b_0, K_0)$  на области  $D_r$  с одинаковым числом правых корней, является условие равенства нулю старшего детерминанта  $\Delta_{2n}$  ( $\Delta_8 = 0$  при  $n = 4$ ). Младшие детерминанты играют при этом вспомогательную роль: с их помощью по формуле (4) выполняется разметка  $D$ -областей. Новых  $D$ -областей при этом не возникает, поскольку эти линии образуются критическими точ-

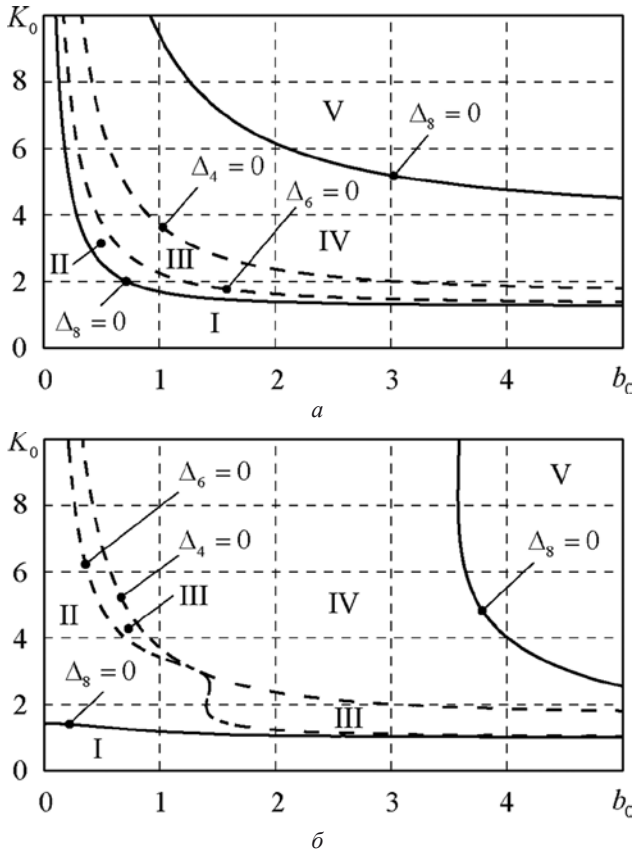


Рис. 4. Диаграммы  $D$ -разбиения  $\Delta_8 = 0$  и вспомогательные линии  $\Delta_{2i} = 0$ ,  $i = 1, 3$  для четырехкаскадного резонансного усилителя (а) и кольцевого автогенератора (б) при  $\alpha = 1$

### Пример определения числа правых корней полинома по критерию Эрмита-Гурвица

Подобласть	Знак					$r$
	1	$\Delta_2$	$\Delta_4$	$\Delta_6$	$\Delta_8$	
I	+	+	+	+	+	0
II	+	+	+	+	-	1
III	+	+	+	-	-	1
IV	+	+	-	-	-	1
V	+	+	-	-	+	2

ками 1-го типа. По определению здесь выполняются условия (5). Эти условия эквивалентны появлению нуля в первом столбце соответствующей строки таблицы типа Рауса, ассоциированной с матрицей Эрмита-Гурвица [13]. В силу условия  $\Delta_{2n} \neq 0$  эти точки не принадлежат границе  $\Delta_{2n} = 0$  и согласно алгоритму Рауса заполнение таблицы можно продолжить, заменив нуль малой величиной  $\varepsilon$  произвольного знака. Такой подход решает задачу локализации корней полинома и свидетельствует о неизменности их числа в окрестности особых точек 1-го типа. Тем самым доказано следующее положение.

**Теорема 2.** Основной границей  $D$ -разбиения плоскости двух параметров характеристического уравнения

(1) с комплексными коэффициентами  $H(p, k_1, k_2)$ , для которого  $H(j\omega) = H_B(\omega) + jH_M(\omega)$ , причем  $b_n \neq 0$  и полиномы  $H_B(\omega)$  и  $H_M(\omega)$  взаимно просты, является равенство нулю старшего детерминанта матрицы Эрмита Гурвица  $\Delta_{2n}(k_1, k_2) = 0$ . Вспомогательные линии, соответствующие равенству нулю младших детерминантов матрицы  $\Delta_{2i} = 0$ ,  $i < n$  при  $\Delta_{2n} \neq 0$ , образуются особыми точками 1-го типа и служат для выделения  $D_r$  областей диаграммы с равным числом правых корней  $r = V(1, \Delta_2, \Delta_4, \dots, \Delta_{2n})$ , ( $\Delta_{2n} \neq 0$ ).

Кроме основной границы  $D$ -разбиения, по аналогии с задачей Рауса-Гурвица для вещественных полиномов, на плоскости  $(k_1, k_2)$  возможно появление особых линий (не обязательно прямых), определяемых из условий равенства нулю старшего и младшего коэффициентов характеристического уравнения (1):  $h_0(k_1, k_2) = 0$  и  $h_n(k_1, k_2) = 0$ .

В рассмотренных выше примерах таких линий не обнаружено. Первое условие определяет на основной границе  $D$ -разбиения точку с параметром  $\omega = 0$  (она расположена в четвертом квадранте при  $K_0 \rightarrow \infty$ ), второе — корней не имеет (см. рис. 4).

Заметим, что все положения теоремы 2 в соответствии с теоремой 1 обобщаются на случай  $D$ -разбиения гиперпространства  $m$ -го порядка, если двумерный вектор свободных параметров  $K = [k_1, k_2]$  заменить вектором  $K = [k_1, k_2, \dots, k_m]$ . Границей  $D$ -разбиения является равенство  $\Delta_{2n}(K) \neq 0$ , а младшие детерминанты, образующие при  $\Delta_{2i}(K) \neq 0$ ,  $i < n$ ,  $\Delta_{2n}(K) \neq 0$  гиперповерхности более низкого порядка и состоящие из особых точек 1-го типа, служат для разметки  $D$ -разбиения по числу правых корней согласно формуле (4). Вполне понятно, что подобная теорема в соответствии с критерием Рауса-Гурвица имеет место для динамических систем с вещественными характеристическими уравнениями.

### Заключение

Для построения диаграмм  $D$ -разбиения применимы два основных подхода — частотный метод Неймарка и алгебраический детерминантный критерий Эрмита-Гурвица. Отмечено, что важным достоинством метода Неймарка является возможность параметрического решения задачи без приведения комплексного характеристического уравнения к полиномиальной форме. Однако такое решение возможно лишь в случае, когда один из параметров входит в характеристическое уравнение линейно. От подобного ограничения свободен метод Эрмита-Гурвица, но для его реализации необходимо привести характеристическое уравнение к многомерному полиному от  $p$  и составляющих вектора  $K = [k_1, k_2, \dots, k_m]$  свободных параметров системы. Если же эта процедура выполнена (например, методом многомерной ДПФ-интерполяции), то окончательное решение оказывается более простым и сводится к ре-

шению алгебраических уравнений сравнительно невысокой степени по параметрам плоского или  $m$ -мерного сечения пространства  $D$ -разбиения динамической системы. Доказана теорема, согласно которой основной границей  $D$ -разбиения (в алгебраическом методе) является равенство нулю старшего детерминанта матрицы Эрмита–Гурвица. Младшие детерминанты играют при этом вспомогательную роль: с их помощью выполняется разметка  $D$ -областей по числу правых корней и выделяются сечения, соответствующие особым точкам 1-го типа.

Методика исследования резонансных динамических систем при произвольных степенях свободных параметров проиллюстрирована на примерах анализа многокаскадных усилителей и кольцевых автогенераторов.

### Литература

1. **Неймарк Ю.И.** Устойчивость линеаризованных систем (дискретных и распределенных). Л.: Ленинградская Краснознаменная воен.-возд. инж. академия, 1949.
2. **Цыпкин Я.З.** Основы теории автоматических систем. М.: Наука, 1977.
3. **Попов Е.П.** Теория линейных систем автоматического регулирования. М.: Наука, 1978.
4. **Евтянов С.И.** Избранные статьи. М.: Издательский дом МЭИ, 2013.
5. **Воронов А.А.** Устойчивость, управляемость, наблюдаемость. М.: Наука, 1979.
6. **Первачев С.В.** Радиоавтоматика. М.: Радио и связь, 1982.
7. **Капранов М. В., Кулешов В. Н., Уткин Г. М.** Теория колебаний в радиотехнике. М.: Наука, 1984.
8. **Богачев В.М.** Устойчивость линеаризованных электронных схем (сосредоточенных и распределенных). М.: МЭИ, 1985.
9. **Богачев В.М., Лысенко В.Г., Смольский С.М.** Транзисторные генераторы и автодины. М.: МЭИ, 1993.
10. **Богачев В.М.** Метод  $D$ -разбиения в плоскости параметров, входящих в характеристическое уравнение полиномиально // Труды 59-й науч. сессии, посвященной Дню Радио. Т. 2. М.: Радиотехника, 2004. С. 88 — 90.
11. **Гантмахер Ф.Р.** Теория матриц. М.: Наука, 1966.
12. **Джури Э.** Инноры и устойчивость динамических систем. М.: Наука, 1979.
13. **Богачев В.М.** Алгебраические критерии устойчивости комплексных полиномов и их применение в радиоэлектронике // Радиотехника и электроника, 2015. № 7. С. 731.
14. **Влах И., Сингхал К.** Машинные методы анализа и проектирования электронных схем. М.: Радио и связь, 1988.
15. **Богачев В.М., Демидов В.М.** Многомерное ДПФ-преобразование полиномиальных определителей // Радиотехника. 1988. № 2. С. 99.

*Статья поступила в редакцию 19.03.2015*